

ИССЛЕДОВАНИЕ САМООБРАШЕНИЯ
ВОЛНОВОГО ФРОНТА ИЗЛУЧЕНИЯ CO_2 -ЛАЗЕРА
ПРИ ЧЕТЫРЕХВОЛНОМ ВЗАИМОДЕЙСТВИИ

А.А. Б е т и н, К.В. Е р г а к о в,
О.В. М и т р о п о л ь с к и й

В работах [1, 2] было экспериментально реализовано самоанкачиваемое зеркало для излучения импульсного CO_2 лазера ($\lambda = 10.6 \text{ мкм}$) при четырехволновом взаимодействии в схеме в обратной связью (ЧВОС) в поглощающей жидкости (CCl_4) и резонансном газе (SF_6). В настоящей работе экспериментально исследована пространственная структура излучения генерации при ЧВОС. Впервые реализовано самообращение волнового фронта излучения CO_2 лазера. Приводятся также результаты измерений энергетических характеристик генерации как во встречном, так и в попутном с сигнальной волной направлениях распространения.

Согласно теории [3, 4], необходимым условием генерации в схеме ЧВОС (рис. 1) волны E_0 , обращенной по отношению к входному сигналу E_1 , является формирование неустойчивого резонатора за счет обужения прошедшего по петле сигнального пучка E_3 по сравнению с пучком E_1 , причем точность ОВФ должна повышаться с ростом увеличения $M = d_1/d_3$, где $d_{1,3}$ – диаметр пучка $E_1, 3$. В проведенной серии экспериментов (схему экспериментальной установки см. в [2]) была исследована зависимость энергии генерации во встречном (W_0) и попутном (W_1) с сигналом направлениях от энергии W_1 , сигнальной волны E_1 при различных значениях в нелинейной среде диаметра сигнального пучка, прошедшего через усилитель. Величина d_3 принимала значения 2.25, 3.6, 5.25 мм по уровню 0.5 полной энергии. Диаметр входного сигнального пучка при этом оставался неизменным и составлял $d_1 = 4.8 \text{ мм}$. Во всех экспериментах генерация носила пороговый характер и развивалась с задержкой во времени относительно сигнального импульса длительностью по уровню 0.5 $t_u \approx 200 \text{ нс}$. Как следует из рис. 1, пороговая энергия сигнальной волны E_1 , необходимая для возбуждения генерации, почти не зависела от размера пучка E_3 и составляла $W_{\text{пор}} \approx 30 \div 50 \text{ мДж}$. С одной стороны при уменьшении d_3 и M раз по сравнению с d_1 эффективность отражения $\eta = \frac{|E_4(\vec{r}_1, t)|^2}{|E_2(\vec{r}_1, t)|^2}$ волн генерации E_2 в волну генерации E_4 от голограммы, наведенной в нелинейной среде (CCl_4) волнами E_1 и E_3 , возрастает за счет увеличения плотности энергии $\omega_3 \sim M^2$ пучка E_3 , с другой – пропорционально M^2 возрастают апертурные потери волны E_2 при отражении от нелинейного зеркала. Так как в условиях эксперимента $\eta \ll 1$ (для выполнения условий самовозбуждения в схеме ЧВОС использовался усилитель) и $\eta \sim \omega_3$ [2], рост апертурных потерь в этом случае компенсирует увеличе-

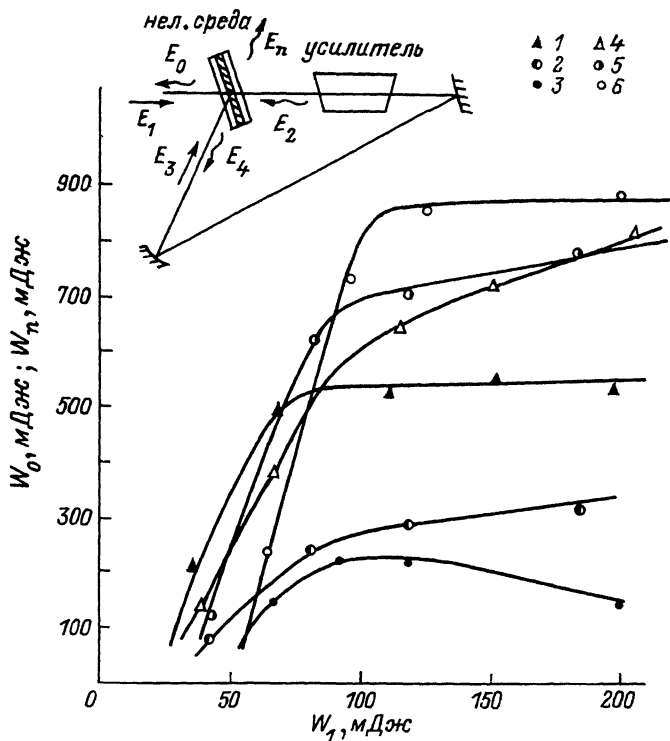


Рис. 1. Зависимость энергии выходного излучения генерации во встречном (W_o - 1, 2, 3) и в попутном (W_n - 4, 5, 6) по отношению к сигналу направлениям от энергии сигнальной волны W_1 при различном диаметре d_3 пучка E_3 : 1, 4 - ≈ 5.25 мм; 2, 5 - ≈ 3.6 мм; 3, 6 - ≈ 2.25 мм. Линия сигнала - R 14, линия генерации - P18. Толщина нелинейной среды $Z \approx 1.1$ мм.

ние отражательной эффективности голограммы. При превышении порога ($W_1 > W_{\text{пор}}$) энергия излучения генерации как во встречном, так и в попутном с сигналом направлении вначале довольно быстро нарастала, а затем при $W_1 \approx 80-100$ мДж входила в режим насыщения. При уменьшении диаметра пучка с 5.25 до 2.25 мм энергия отраженного излучения, соответствующая режиму насыщения генерации, падала более чем в 2 раза (с 560 до 200 мДж), в то время как энергия попутной с сигналом волны возрастала с 800 до 900 мДж, что свидетельствует о перераспределении энергии, запасенной в CO_2 усилителе, между встречными волнами генерации в зависимости от условий эксперимента. Суммарная энергия выходного излучения генерации $W_o + W_n$ в режиме насыщения изменилась незначительно (в пределах 1.15–1.35 Дж). Различие между собой энергий встречных волн генерации может быть связано с различием в запол-

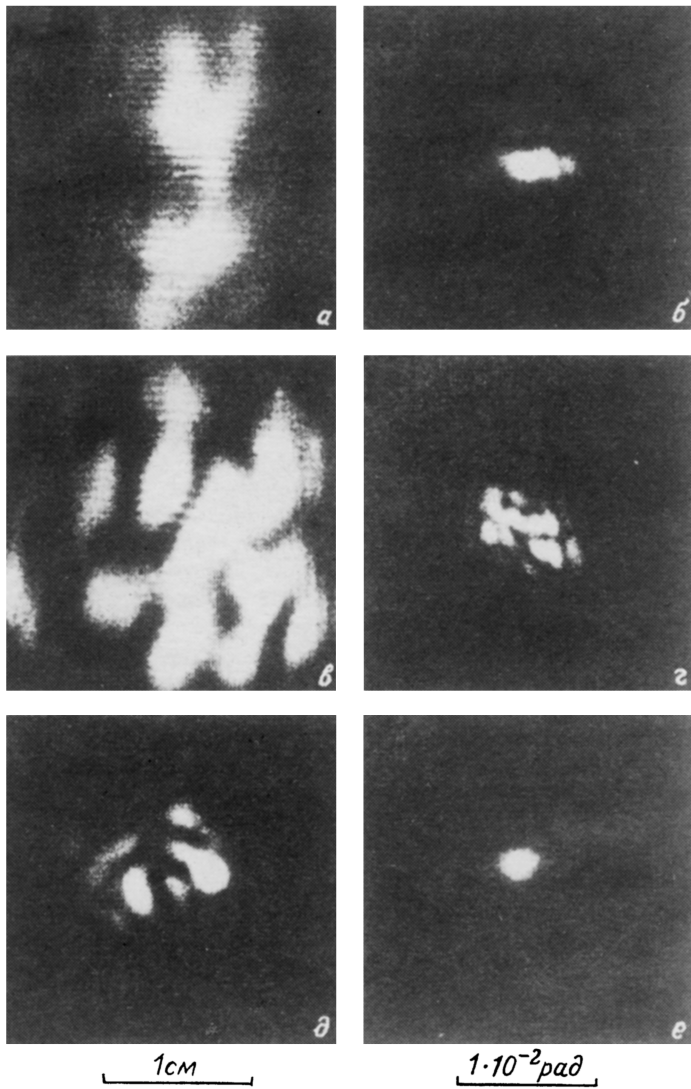


Рис. 2. Фотографии поперечного распределения интенсивности излучения генерации при ЧВОС в ближней (левый столбец) и дальней (правый столбец) зонах: отраженной волны при $d_3 = 3.6$ мм (а, б) и $d_3 = 2.25$ мм (в, г), попутной с сигналом волны генерации (д), отраженной волны при наличии ФП в петле обратной связи (е).

нении ими объема активной среды усилителя, которое может меняться при изменении параметров формируемого при ЧВОС кольцевого резонатора (например, как это было в эксперименте при изменении размера и кривизны целинейного зеркала). Кроме того, при изменении параметров резонатора может изменяться вклад в выходное излучение волн, возникающих из-за переотражений излучения генерации на непросветленных оптических элементах схемы.

Исследование пространственной структуры волн генерации проводилось методом фоторегистрации излучения [5] на выходе из нелинейной среды в ближней и дальней (в фокальной плоскости линзы $F = 19$ см) зонах (рис. 2). В отличие от одномодового сигнального пучка отраженный пучок имел пространственно-неоднородную структуру (рис. 2, а-г). Однако устойчивость регистрируемого изображения от вспышки к вспышке, наблюдавшаяся в условиях различного превышения энергии сигнальной волны над порогом, свидетельствует о наличии мод излучения формируемого ЧВОС-резонатора. Диаметр отраженного пучка по уровню 0.5 полной энергии в 3-4 раза превышал диаметр сигнального пучка d_1 , достигая ≈ 2 см. Расходимость отраженного излучения θ_0 , определяемая величиной угла, в пределах которого содержится половина всей энергии, также была существенно выше, чем у одномодового сигнального пучка ($\theta_0 \approx 1.9$ мрад). Наиболее однородное пространственное распределение интенсивности отраженного излучения как в ближней, так и в дальней зоне и наименьшая расходимость отраженного пучка наблюдалась при $d_3 \approx 3.6$ мм (рис. 2, а, б). Так, при диаметре сигнального пучка, прошедшего по петле резонатора, $d_3 = 5.25$ мм ($M \approx 0.9$), расходимость отраженного излучения составила $\theta_0 \approx 2.8$ мрад, что в 1.5 раза превышает расходимость исходного сигнального пучка θ_1 . При $d_3 \approx 3.6$ мм ($M \approx 1.3$) величина θ_0 уменьшилась до 2.3 мрад $\approx 1.2 \theta_1$, а затем при $d_3 \approx 2.25$ мм ($M \approx 2.1$) снова увеличилась, достигнув максимального для данного эксперимента значения $\theta_0 \approx 6.2$ мрад $\approx 3.5 \theta_1$. Причем в последнем случае отраженный пучок имел наиболее ярко выраженную пространственно-неоднородную структуру (рис. 2, в, г). Ухудшение пространственного распределения и возрастание расходимости отраженного излучения с ростом увеличения неустойчивого резонатора, наблюдавшееся в эксперименте, могло быть связано с паразитным переотражением излучения генерации на непросветленных поверхностях оптических элементов схемы. Согласно [6], это может приводить к существенному ухудшению пространственной структуры излучения генерации в неустойчивом резонаторе.

Генерация также была исследована в том случае, когда на пути волны E_3 перед кюветой с Cs_4 , располагалась фазовая пластинка (ФП) из NaCl , вносящая расходимость $\theta_{\text{ФП}} \approx 30$ мрад, большую по сравнению с углом видения схемы ЧВОС (≈ 5 мрад) и дополнительная собирающая линза ($F = 10$ см), фокусирующая излучение в область взаимодействия с волной E_1 . При этом пороговая энергия возбуждения генерации ($W_{\text{пор}} \approx 40$ мДж) практически не изменялась по сравнению со схемой ЧВОС без ФП. Следовательно, внесение ФП в

резонатор ЧВОС-генератора не приводит к возрастанию потерь излучения генерации, что свидетельствует об адаптивности схемы ЧВОС по отношению к фазовым неоднородностям внутри петли обратной связи. Отраженное излучение имело однородную структуру и в пределах точности измерений совпадало с распределением интенсивности сигнала. Расходимость отраженного пучка также совпадала с расходимостью сигнального излучения (рис. 2, е). Измерение диаметра пучка выходного излучения в двух плоскостях показало, что отраженная волна является сходящейся, в то время как сигнальный пучок на входе в кювету с CCl_4 был расходящимся. Таким образом, использование ФП в петле обратной связи позволило получить самообращение излучения CO_2 лазера при ЧВОС. С помощью ФП была осуществлена эффективная пространственная селекция необращенных по отношению к входному сигналу мод. Из-за сильной расходимости, внесенной ФП, время жизни в резонаторе возникающих за счет паразитных переотражений волн было малым; было неизначительным и их влияние на обращенную по отношению к сигналу волну генерации, распространяющуюся по петле резонатора с компенсацией внесенных ФП-искажений.

Фоторегистрация распределения интенсивности волны генерации, распространяющейся в попутном с сигналом направлении, показала, что оно имеет существенно неоднородную структуру независимо от наличия ФП в петле обратной связи. Фотография типичного распределения интенсивности попутной с сигналом волны генерации приведена на рис. 2, д. Для попутной волны генерации, также как и для встречной волны, наблюдалась устойчивость пространственной структуры излучения от вспышки к вспышке, что свидетельствует о наличии модовой структуры излучения генерации и в попутном с входным сигналом направлении.

Л и т е р а т у р а

- [1] Бетин А.А., Жуков Е.А., Митропольский О.В. - Письма в ЖТФ, 1986, т. 12, в. 17, с. 1052-1056.
- [2] Бетин А.А., Митропольский О.В. - Квантовая электроника, 1987, т. 14, № 5, с. 110-1008.
- [3] Бетин А.А., Русов Н.Ю. - Изв. ВУЗов, Радиофизика, 1987, т. 30, № 5, с. 676-678.
- [4] Бельдюгин И.М., Галушкин М.Г., Золотарев М.В., Каменец Ф.Ф. - Изв. АН СССР, сер. физ., 1987, т. 51, № 2, с. 358-361.
- [5] Kovalev B.I., Lesciv A.P., Fajzullayev F.S., Fedorov B.B. - ПТЭ, 1983, № 1, с. 149-151.
- [6] Ананьев Ю.А. Оптические резонаторы и проблема расходимости лазерного излучения. М.: Наука, 1979. 328 с.

Институт прикладной
физики АН СССР,
Горький

Поступило в Редакцию
21 марта 1988 г.